

II-18 流れによる粘性土の洗掘破壊と水路の限界流速

北海道大学工学部 正会員 岸 力

北海道大学工学部 学生会員 ○山口忠男

北海道大学工学部 学生会員 平野 悟

緒言

粘着性河床材料の限界掃流力に関して、E. Partheniades を始め、いくつかの理論的及び実験的研究が行われているが、非粘着性河床材料のそれに比して、土質力学的諸性質との関連において解決されねばならない多くの不明確な問題を持っている様である。

本論文は粘着性河床材料の限界掃流力を研究する第一段階として、各種の土について実験的に限界値を求め、土の性質から E. Partheniades の理論を検討しようとするものである。

表-1 土の諸性質

土	a 種	b 種	c 種	d 種
配合	silt : clay 0 : 1	1 : 3	1 : 2	1 : 1
含水比	71.9%	71.6%	74.4%	62.4%
Vane 値	152.9/cm ²	9.0/cm ²	7.3/cm ²	14.0/cm ²
比重	2.59	2.65	2.63	2.65
平均粒径	0.005mm	0.0029mm	0.0032mm	0.0056mm
5μ %	70%	58%	55%	48%

実験

図-1に示す10×15cmの鉄製矩形断面閉管路を使用し、土を5cmの厚さに敷き、30分間水を流した。

表-1はa,b,c,d 4種の土の諸数値を示す。clayとしてカオリンクレイ、siltとして0.2mmフルイを通過したものと用いた。土の剪断強度はVane試験によった。

底面の剪断力については、動水勾配 "I" を測定し、 $\tau = \omega R I$ より求めた。又ピトー管により流速分布を測定し、対数分布から求まる u^* より剪断力を求めて、その信頼性を確かめた。

結果

図-2は剪断力 τ と洗掘量 E (単位: g/cm²/hour) の実験結果を示す。この図より、剪断力のある値を越えると、洗掘量が急激に増加する限界値が存在し、a種の土では約0.042g/cm²、b種で0.041g/cm²、c種で0.040g/cm²、d種で0.025g/cm²である。表-1のVane値とこれらを比較して、Vane値は粘着力の真の値を表していない様である。

図-1 閉管路の図

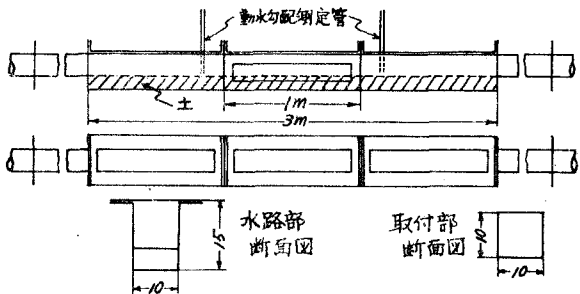
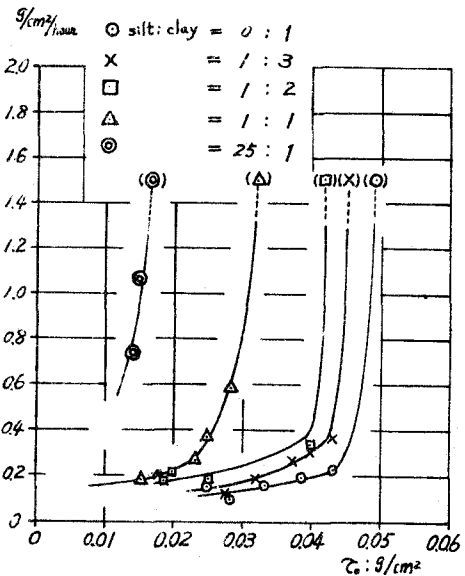


図-2



E. Partheniades は剪断力での変動を次式とした。

$$\tau_c = \bar{\tau}_c (1 + \eta^* / \eta_0) \quad (1)$$

η^* : $N(0, 1)$ の変数, η_0 : 定数 $\bar{\tau}_c$ での平均値

又個々の粒子に働く剪断力が粘着力より大きい時に粒子が運ばれるときの確率を次式とした。

$$P_r = P \{ K^* C \geq 1 \} \quad (2)$$

(1)式と(2)式より洗掘量を表す次式を導いた。

$$E = \frac{A' D_s Y_s}{t(\bar{\tau}_c)} \left[1 - \frac{1}{\sqrt{2\pi}} \int_{\frac{K^* C - 2.75}{K^* C - 2.75}}^{\infty} e^{-\frac{w^2}{2}} dw \right] \quad (3)$$

B.A. Christensen は、Partheniades の理論をもとにした。河床付近の流速が変動するとの立場から

$$U = \bar{U} (1 + w_u \sigma_u / U) \quad (4)$$

とし、洗掘量を表す次式を導いた。

$$E = \frac{A' D_s Y_s}{t(\bar{\tau}_c)} \left[0.5 - \frac{1}{\sqrt{2\pi}} \int_{\frac{K^* C - 6.10}{K^* C - 2.75}}^{\infty} e^{-\frac{w^2}{2}} dw \right] \quad (4)$$

Partheniades 及び Christensen が導いた式において、粘着力 C は土の種類により、又含水量により著しく異なる為簡単に表す事が出来ないが、I.S. Dunn が導いた様に、細粒の含有量と比例関係にあるとすれば、著者らは実験値より、図-3に示す直線を仮定した。

更に K 及び $t(\bar{\tau}_c)$ を定数と考え、剪断力及び洗掘量を無次元表示して $X = K^* C$, $Y = t(\bar{\tau}_c) \cdot E / A' D_s$ とすると、図-4は K , $t(\bar{\tau}_c)$ に妥当な値を選んだ時の実験値及び理論曲線を表す。この時 $K = 250$, $t(\bar{\tau}_c) = 0.0002 \text{ hour}$ (0.72 sec) である。 $\bar{\tau}_c$ 。

$X = 0.6$ を限界とすれば、その前後にあって X の 0.2 の変化に対し、 Y は 0.025 から 0.185 であり、多くの仮定が含まれているにもかかわらず、かなり良好な一致を示している。

$A' = 0.575$, $D_s = 0.0005$, $Y_s = 2.65$ を用いてそれらの理論式を書けば、次の実験式を得る。

$$E_{(\text{Par})} = 3.62 \left[1 - \frac{1}{\sqrt{2\pi}} \int_{-\infty}^{0.011 \frac{f_0}{\bar{\tau}_c} - 2.75} e^{-\frac{w^2}{2}} dw \right]$$

$$E_{(\text{Chr})} = 3.62 \left[0.5 - \int_{\frac{K^* C - 6.10}{K^* C - 2.75}}^{\infty} e^{-\frac{w^2}{2}} dw \right]$$

但し E の単位は $\text{g/cm}^2/\text{hour}$ で、 C 及び $t(\bar{\tau}_c)$ について g/cm^2

粘着性河床材料を扱う時 特に粘着力が問題となる。本論文では単に U_f との直線的関係を仮定したが、実際には多くの factor が組み合っているであろう。又 $t(\bar{\tau}_c)$ を定数と考えたが、での関数である事も察られる。 $t(\bar{\tau}_c)$ の意味する物理的現象が解明され、粘着力の問題が一步一步解決され事が 粘性土の洗掘問題解決に対する今後の課題であろう。

図-3

